

## Лаборатория Неорганической Кристаллохимии Кафедра Неорганической Химии, Химический Факультет МГУ

Дифракция рентгеновских лучей на реальных объектах.

Теоретическая дифрактограмма.

# Содержание

- 1. Факторы, влияющие на интенсивность рефлекса
- 2. Теоретическая дифрактограмма

# 1.0 Краткое содержание предыдущих серий

1. Рассеивающий фактор (кинематическое приближение):

$$F(\mathbf{q}) = \int_{V} \rho(\mathbf{r}) e^{i\mathbf{q}\mathbf{r}} d\mathbf{r}$$

2. Для периодической системы - отдельные максимумы:

$$F(\mathbf{q}) = \sum_{h,k,l} f_{hkl} \mathcal{S}(\mathbf{q} - \mathbf{q}_{hkl})$$

$$\mathbf{q}_{hkl} = h\mathbf{a}^* + k\mathbf{b}^* + l\mathbf{c}^*$$

$$\mathbf{a}^* = \frac{[\mathbf{b} \times \mathbf{c}]}{\mathbf{a} \cdot [\mathbf{b} \times \mathbf{c}]}, \mathbf{b}^* = \dots$$

3. При этом амплитуда:

$$F_{hkl} = \sum_{j} g_{j} t_{j} (\mathbf{q}_{hkl}) e^{2\pi i (hx_{j} + ky_{j} + lz_{j})} F_{atom}^{j} (\mathbf{q}_{hkl})$$

## 1.1 Рассеяние на реальном объекте

Комплексная амплитуда рассеянного излучения:

$$\hat{A}_{hkl} = \hat{A}_0 F_{hkl} = \hat{A}_0 \sum_j g_j t_j (\mathbf{q}_{hkl}) e^{2\pi i (hx_j + ky_j + lz_j)} F_{atom}^j (\mathbf{q}_{hkl})$$

 $F_{
m hkl}$  – характеризует перераспределение амплитуды рассеянного излучения в процессе интерференции.

Этого уравнения было бы достаточно, если:

- 1. Пучок был бы монохроматическим с  $k = {\sf Const.}$
- 2. Точечный участок dV рассеивал бы как  $\hat{A}_{\mathbf{q}}=\hat{A}_{0}
  ho(\mathbf{r})$
- 3. Полностью бы выполнялись условия кинематического приближения
- 4. Мы работали бы с прозрачным для РИ бесконечным идеальным монокристаллом.
- 5. Мы работали бы на идеальном инструменте и регистрировали  $\delta$ -функции.

#### Сферический конь в вакууме @

Очевидно, что

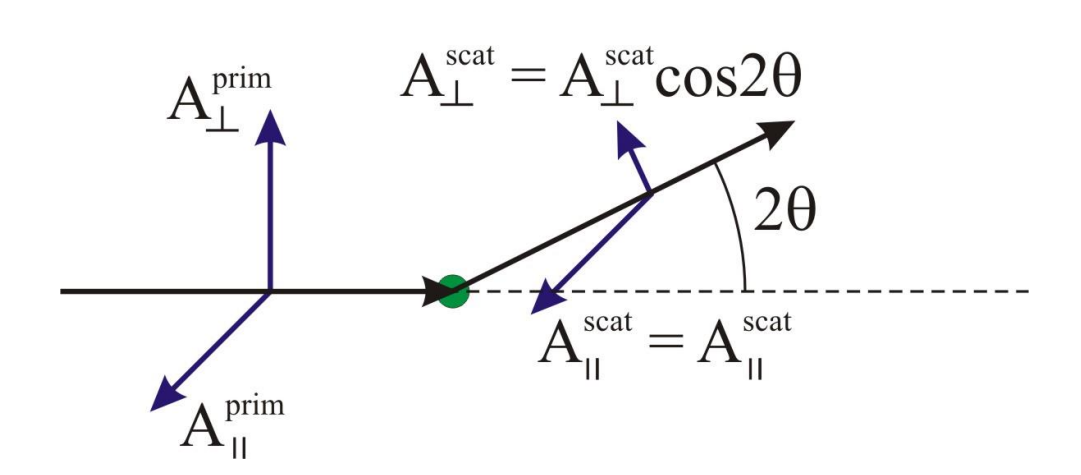
$$I_{hkl} \propto \left| A_{hkl} \right|^2 \propto \left| F_{hkl} \right|^2$$

Точечный участок dV рассеивает как (Томсоновское рассеяние):

$$\frac{d\varepsilon}{d\Omega} = I_0 \rho(\mathbf{r}) \left(\frac{q^2}{4\pi\varepsilon_0 mc^2}\right)^2 \frac{1 + \cos^2 2\theta}{2}$$

Из-за поляризации рассеянного излучения

$$I^{scat} = \left| \hat{A}^{scat} \right|^2 \propto P = \frac{1 + \cos^2 2\theta}{2}$$



Кристалл-монохроматор сам поляризует излучение. В этом случае:

$$P = \frac{1 - K + K \cos^2 2\theta \cos^2 2\theta_M}{2}$$

К = 0.5 для неполяризованного РИ, К = 0 для нейтронов

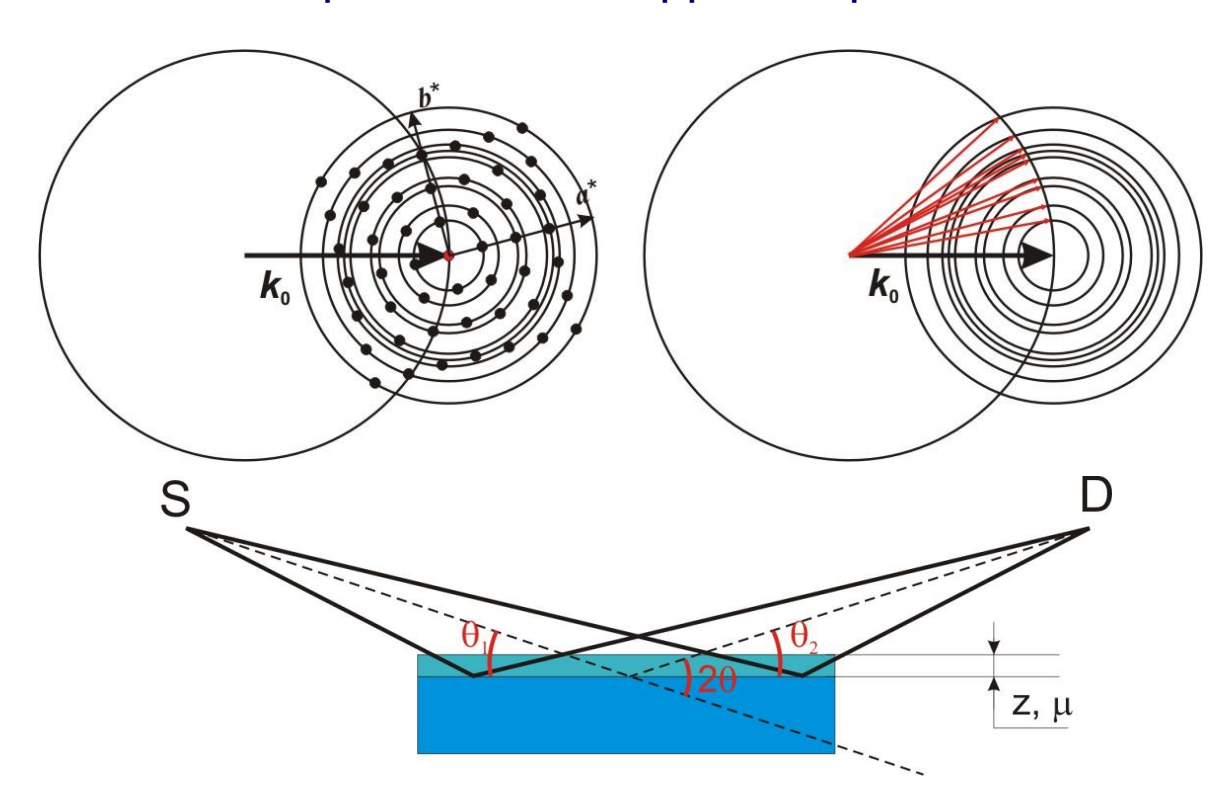
#### 1.3 Порошковая дифрактограмма vs. монокристалл

#### Тогда

$$I_{hkl} = kI_0 P \big| F_{hkl} \big|^2$$

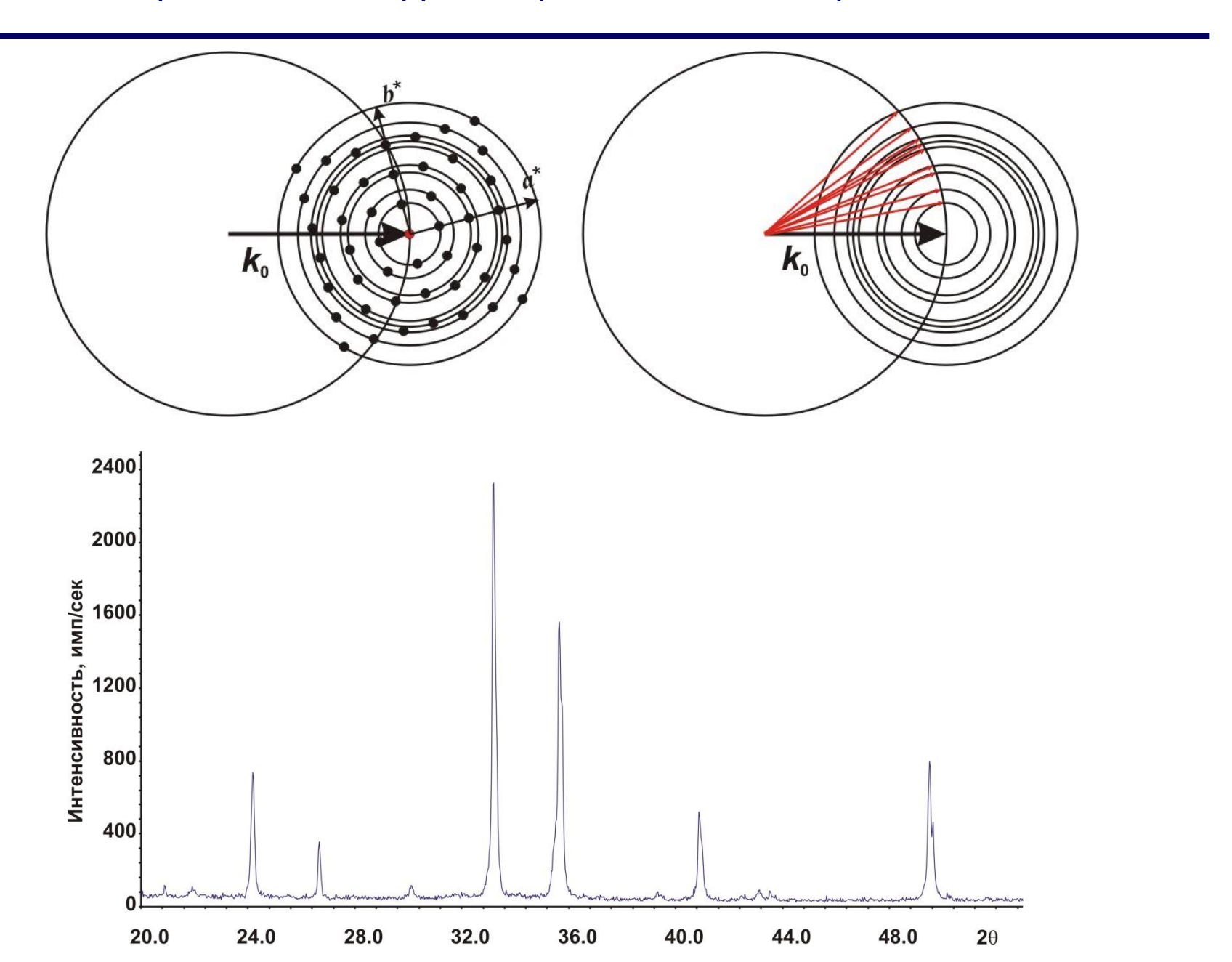
(параллельный монохроматический пучок, непоглощающий бесконченый монокристалл, кинематическое приближение)

#### А что для порошковой дифрактограммы?



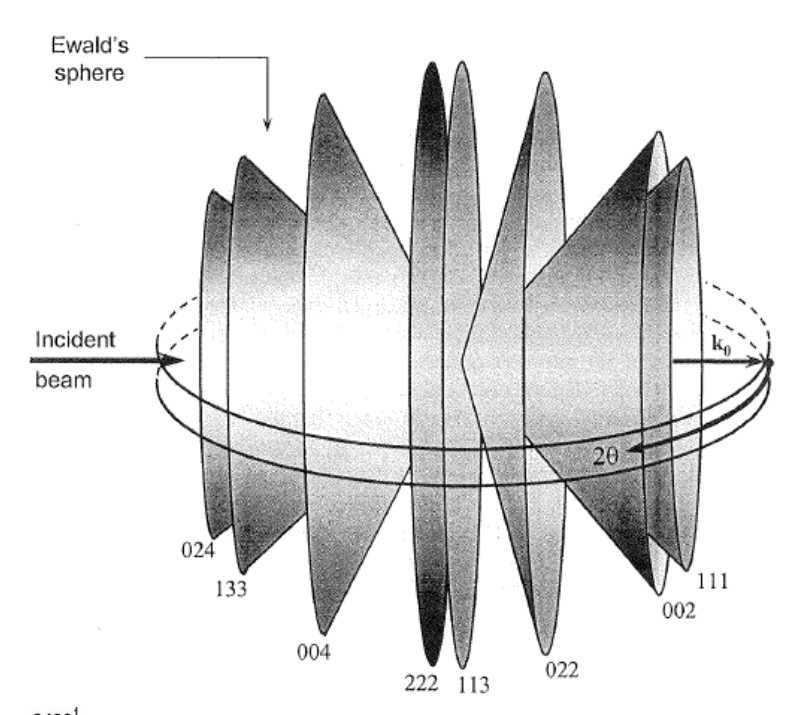
- 1. Много разориентированных кристаллитов
- 2. Поглощение в образце
- 3. Разные геометрии съемки
- 4. Неидеальный образец+ неидеальный инструмент

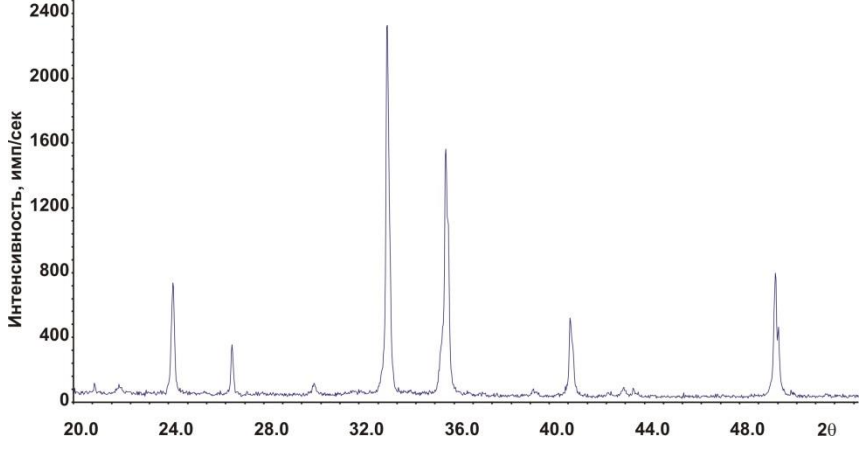
## 1.3 Порошковая дифрактограмма vs. монокристалл



#### 1.3 Порошковая дифрактограмма vs. монокристалл

#### Дифракция на порошке (много разупорядоченных монокристаллов).





- 1D проекция 3D картины
- Нельзя определить вектор  $\mathbf{q}(h,k,l)$ .
- Можно исследовать | q<sub>hkl</sub> |

$$|\mathbf{q}_{hkl}| = \frac{2\sin\theta}{\lambda} = \frac{1}{d_{hkl}}$$

$$\downarrow \downarrow$$

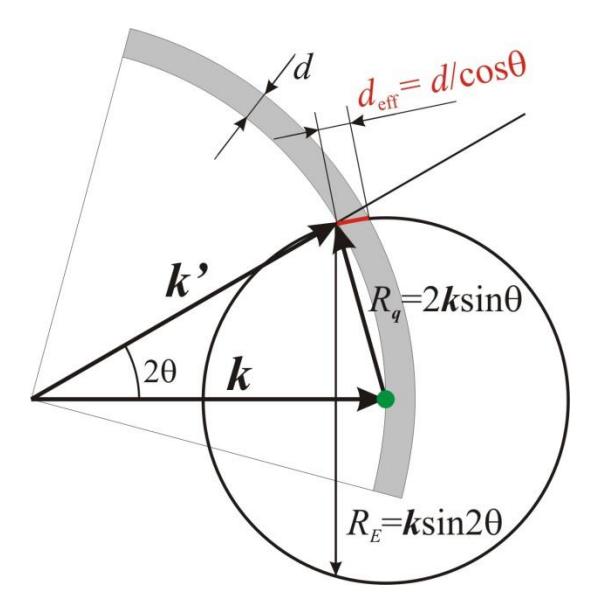
$$2d_{hkl}\sin\theta = \lambda$$

Как рассчитать интенсивность рефлекса?

#### 1.4 LPG-фактор.

#### *LPG* = *Lorentz*+*Polarization*+*Geometry*

#### 1. Лоренц-фактор №1 (L)



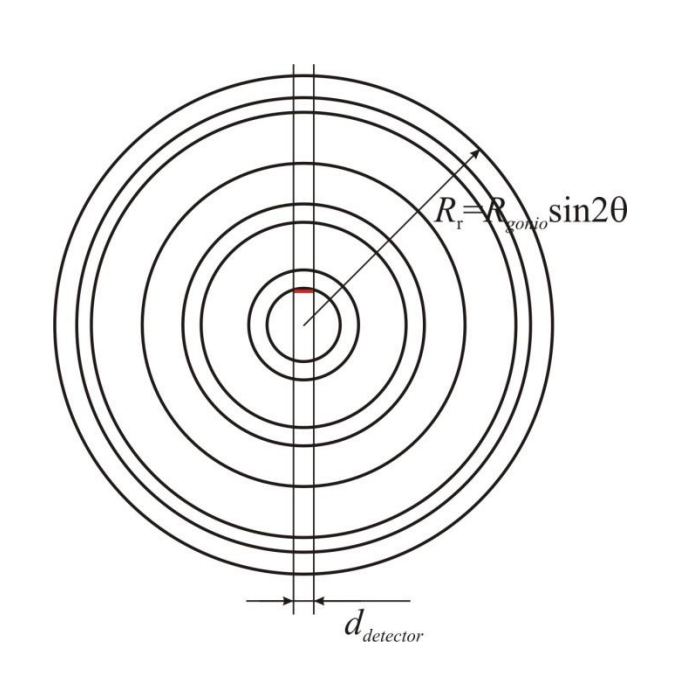
1. Лоренц-фактор №2 (G)

Окно детектора фиксированной длины пересекает кольца переменного радиуса

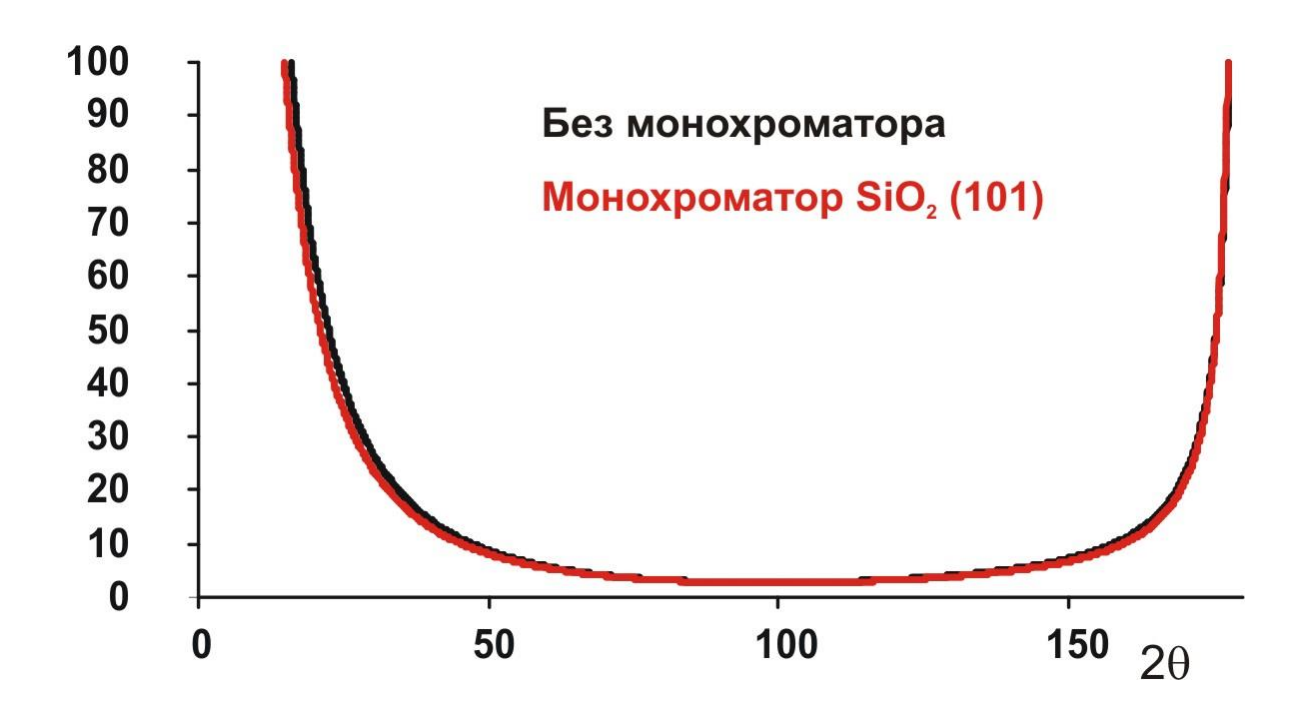
$$I_{reg} \propto rac{I_0}{\sin 2 heta}$$

Плотность рефлексов на сферах падает с ростом 20. Вероятность пересечь сферу Эвальда:

$$I \propto w = \frac{R_E d_{eff}}{4\pi R_q^2} = \frac{2k \sin 2\theta / \cos \theta}{16\pi k^2 \sin^2 \theta} \propto \frac{1}{\sin \theta}$$



$$LPG \propto \frac{1 - K + K\cos^2 2\theta \cos^2 2\theta_M}{\cos \theta \sin^2 \theta}$$

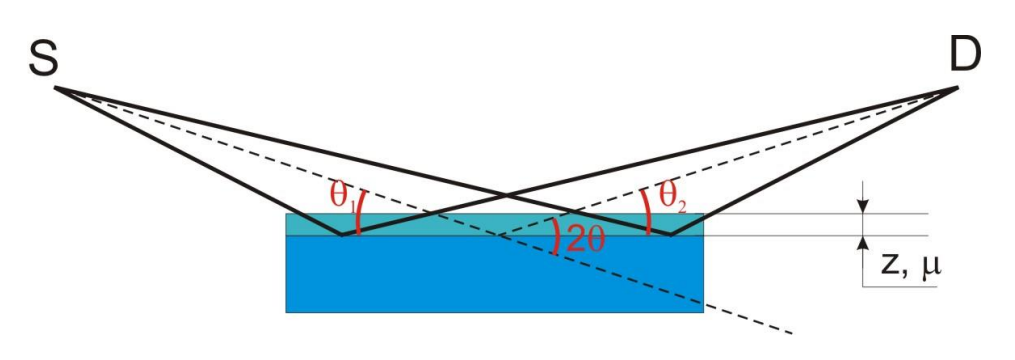


При работе с прецизионными данными наличие монохроматора учитывать обязательно!

## 1.5 Абсорбция излучения в образце

#### Абсорбционный множитель А

#### Уравнения Гамильтона-Дарвина



$$\frac{\partial I_S}{\partial \mathbf{t}_S} = \mu I_S$$

$$\frac{\partial I_D}{\partial \mathbf{t}_D} = \mu I_D + \sigma I_S$$

Тогда: 
$$I_S(\theta_1,z) = I_S^0 e^{-\frac{\mu z}{\sin \theta}}$$

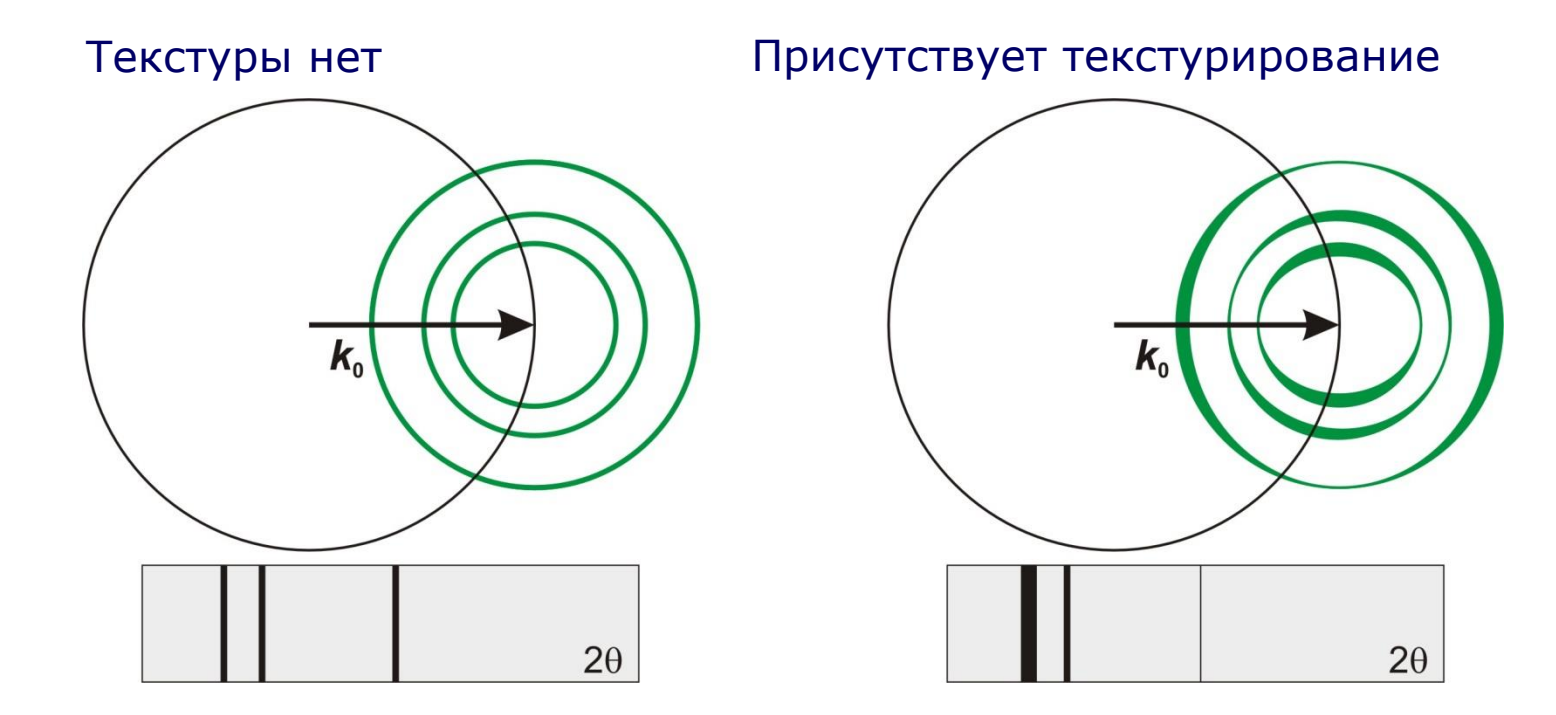
Для вторичного пучка:  $dI_D(\theta_2,z) = \sigma(2\theta)I_S^0 e^{-\frac{\mu z}{\sin \theta_1}} \times e^{-\frac{\mu z}{\sin \theta_2}} dl \rightarrow \sigma(2\theta) \frac{1}{\sin \theta}I_S^0 e^{-\frac{2\mu z}{\sin \theta}} dz$ 

Интегрируем по толщине образца (0 - d):

$$I_{D} = \sigma(2\theta)I_{S}^{0} \frac{1}{2\mu} \left(1 - e^{-\frac{2\mu d}{\sin \theta}}\right) \xrightarrow{d \to \infty} \sigma(2\theta)I_{S}^{0} \frac{1}{2\mu}$$

$$A = \frac{1}{2\mu}$$

#### 1.6 Текстурирование



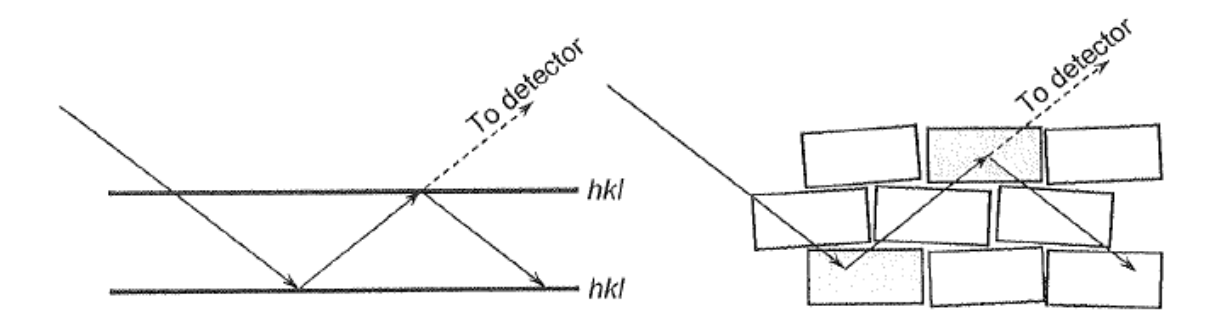
Для порошка обычно описывается феноменологически как:

$$T(hkl) \in [0,1]$$

Подробнее? При обсуждении метода Ритвельда!

#### 1.7 Коэффициент экстинкции

Введение коэффициента экстинкции – попытка феноменологически учесть динамические явления (двойная дифракция)



$$E = E_B \sin^2 \theta + E_L \cos^2 \theta$$

Обычно обе компоненты рассматривают как функции единственного параметра x

Работа с коэффициентами экстинкции – норма для монокристального эксперимента, крайне редко необходима при работе с порошковыми данными

#### 1.8 Фактор повторяемости

$$I_{hkl} = p_{hkl}A \times LPG \times T(hkl) \times E_{hkl} \times |F_{hkl}|^{2}$$

 $p_{hkl}\,$  - число симметрически эквивалентных рефлексов

Например, для кубического кристалла:

$$(1,0,0) (-1,0,0)$$
  $(1,1,0) (-1,-1,0)$   $(0,1,0) (0,-1,0)$   $(0,0,1) (0,0,-1)$   $(0,0,1) (0,0,-1)$   $(0,-1,1) (0,-1,-1)$   $(0,-1,1) (0,1,-1)$   $(-1,0,1) (-1,0,-1)$   $(-1,0,1) (1,0,-1)$ 

Фактор повторяемости  $p_{110} = 12$ 

На следующей лекции мы рассмотрим вопросы симметрии подробнее

#### 2.1 Теоретическая дифрактограмма. Модельные представления.

#### Итак:

Структурная амплитуда:

$$F_{hkl} = \sum_{j} g_{j} t_{j} (\mathbf{q}_{hkl}) e^{2\pi i (hx_{j} + ky_{j} + lz_{j})} F_{atom}^{j} (\mathbf{q}_{hkl})$$

Интенсивность рефлекса:

$$I_{hkl} = p_{hkl}A \times LPG \times T(hkl) \times E_{hkl} \times |F_{hkl}|^{2}$$

Положение рефлекса:

$$2d_{hkl}\sin\theta = (n)\lambda \rightarrow d_{hkl} = \frac{1}{|\mathbf{q}_{hkl}|} \rightarrow \mathbf{q}_{hkl} = h\mathbf{a}^* + k\mathbf{b}^* + l\mathbf{c}^*$$

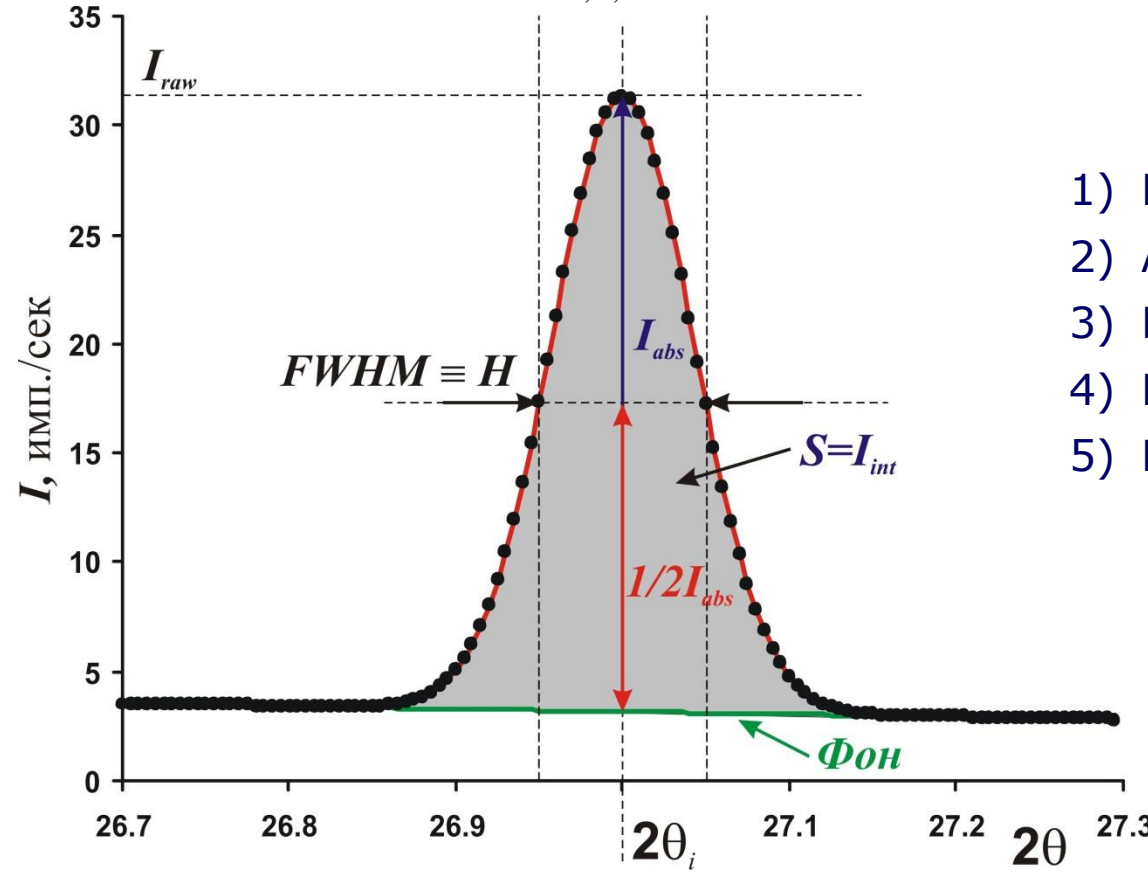
$$\mathbf{a}^* = \frac{\mathbf{b} \times \mathbf{c}}{\mathbf{a} \cdot [\mathbf{b} \times \mathbf{c}]}; \mathbf{b}^* = \frac{\mathbf{c} \times \mathbf{a}}{\mathbf{b} \cdot [\mathbf{c} \times \mathbf{a}]}; \mathbf{c}^* = \frac{\mathbf{a} \times \mathbf{b}}{\mathbf{c} \cdot [\mathbf{a} \times \mathbf{b}]}$$

Все это соответствует набору δ-функций в реальном пространстве

Но что же такое рефлекс?

### 2.2 Профильная функция

$$I(2\theta) = B(2\theta) + k \sum_{h,k,l} p_{hkl} \times |F_{hkl}|^2 \times LPG \times T_{hkl} \times E \times P_{hkl} (2\theta_{hkl} - 2\theta)$$

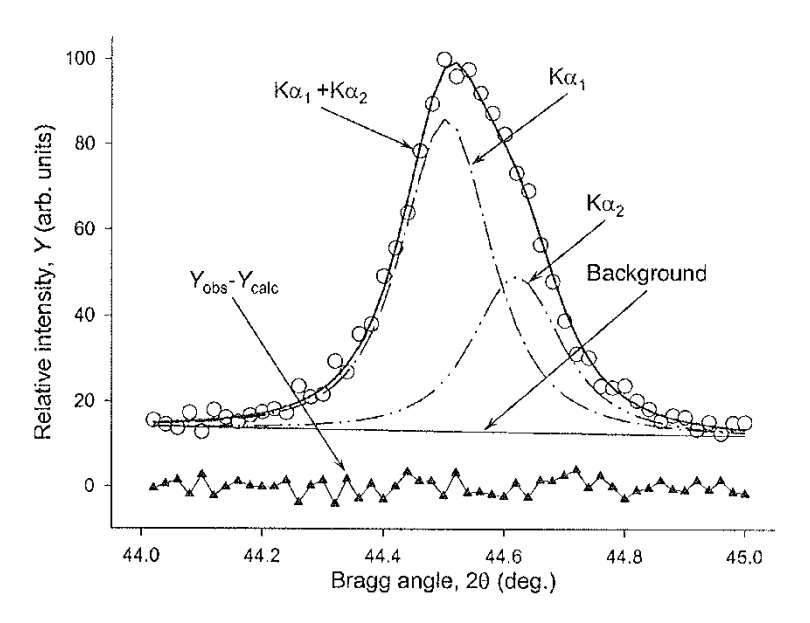


# Основные параметры рефлекса:

- 1) Положение  $2\theta_i$
- 2) Абсолютная интенсивность  $I_{abs}$
- 3) Интегральная интенсивность  $I_{int}$
- 4) Полуширина *FWHM* (или *H*)
- 5) Вид профильной функции

$$PSF(2\theta) = \Omega(2\theta) * \Lambda(2\theta) * \Psi(2\theta) + B(2\theta)$$

### 2.2 Профильная функция



Форма рефлекса может быть описана строго:

$$PSF(2\theta) = \Omega(2\theta) * \Lambda(2\theta) * \Psi(2\theta) + B(2\theta)$$

#### где:

- PSF Peak Shape Function
- В(2θ) функция фона
- $\Omega(2\theta)$  Инструментальная функция
- $\Lambda(2\theta)$  Спектр источника (например  $K\alpha_{1+2}$ )
- $\Psi(2\theta)$  Функция образца

Обычно для исключения процедуры свертки используют аппроксимирующие аналитические функции:

- Функция Гаусса
- Функция Лоренца
- Функция Войта (псевдо-Войт)
- Функция Пирсона

#### Summary 2

1. Структурная амплитуда описывает соотношение между амплитудой падающей и дифрагировавшей волн для рефлекса hkl (положение рефлекса = Закон Брегга):

$$\hat{A}_{hkl} = \hat{A}_0 F_{hkl} = \hat{A}_0 \sum_{j} g_{j} t_{j} (\mathbf{q}_{hkl}) e^{2\pi i (hx_{j} + ky_{j} + lz_{j})} F_{atom}^{j} (\mathbf{q}_{hkl})$$

- 2. Порошок 1D проекция 3D картины монокристалла.
- 3. Для расчета интенсивности рефлексов в реальных системах необходимо учитывать дополнительные глобальные факторы:
  - 3.1 Поляризационный фактор (Р) в любом случае (порошок, монокристалл)
  - 3.2 Лоренц-фактор (порошок)
  - 3.3 Геометрический фактор (порошок в зависимости от геометрии)
  - 3.4 Абсорбцию излучения в образцах (порошок, монокристалл)
  - 3.5 Текстурирование (порошок)
  - 3.6 Экстинкцию (динамические эффекты) обычно только монокристалл
- 3. Для порошковых дифрактограмм удобно непосредственно использовать «фактор повторяемости» при расчете интенсивностей
- 4. Реальные рефлексы не  $\delta$ -функции! У них есть форма, зависящая от инструмента, источника и образца.